

Relatório de Simulação

Karen dos Anjos Arcoverde

Introdução

Nesta seção apresenta-se a avaliação do desempenho de distintos esquemas de modulação digital (M-PAM, M-QAM e M-PSK) em canal AWGN, tanto em configuração banda-base (processamento direto dos símbolos) quanto em banda-passante (transmissão sobre portadora), empregando pulso Raiz-Cosseno Levantado e filtragem casada. Além disso, são examinadas as constelações Tx/Rx no plano I/Q para cada valor de E_b/N_0 . O objetivo principal é comparar, para diversas ordens de modulação e valores de E_b/N_0 .

Resultados Obtidos

Questão 1

OBS: Foi colocado em um tamanho grande para melhor visualização.

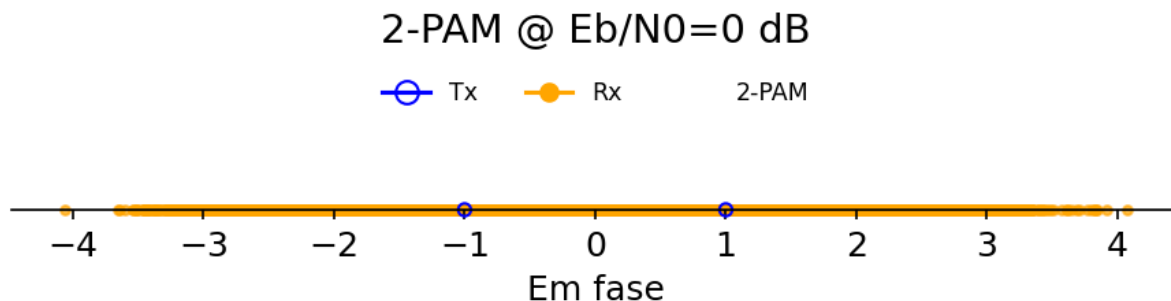


Figure 1: Constelação 2-PAM em $E_b/N_0 = 0$ dB.

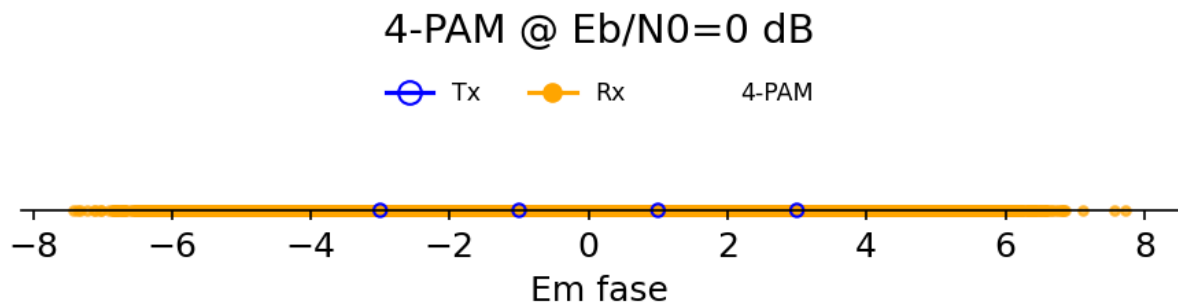


Figure 2: Constelação 4-PAM em $E_b/N_0 = 0$ dB.

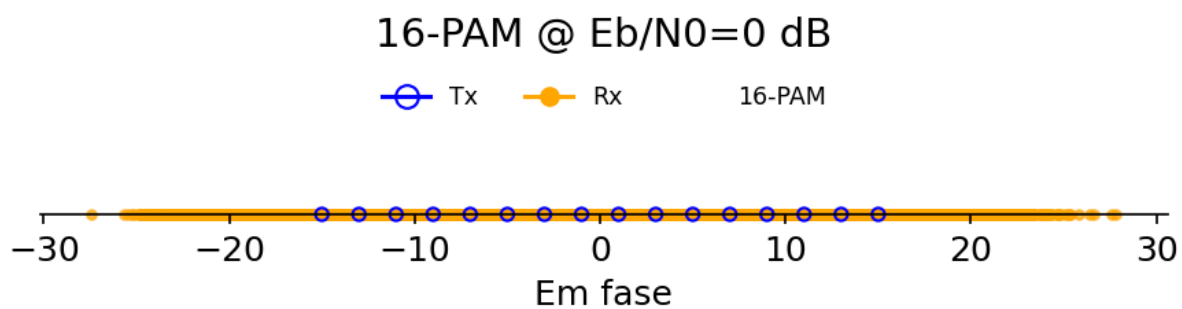


Figure 3: Constelação 16-PAM em $E_b/N_0 = 0$ dB.

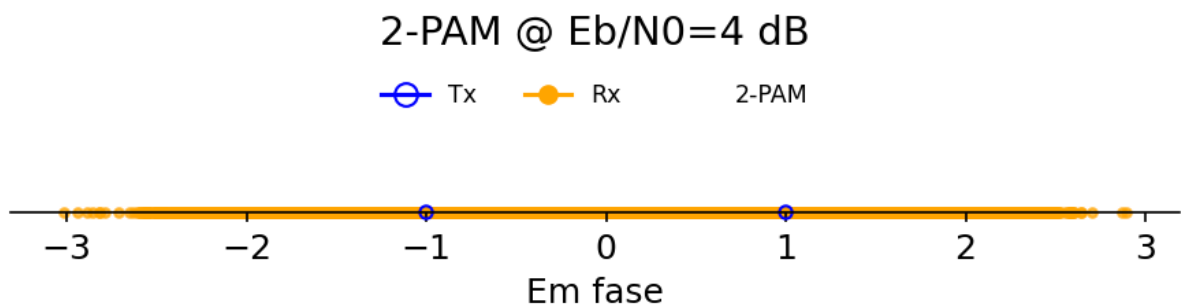


Figure 4: Constelação 2-PAM em $E_b/N_0 = 4$ dB.

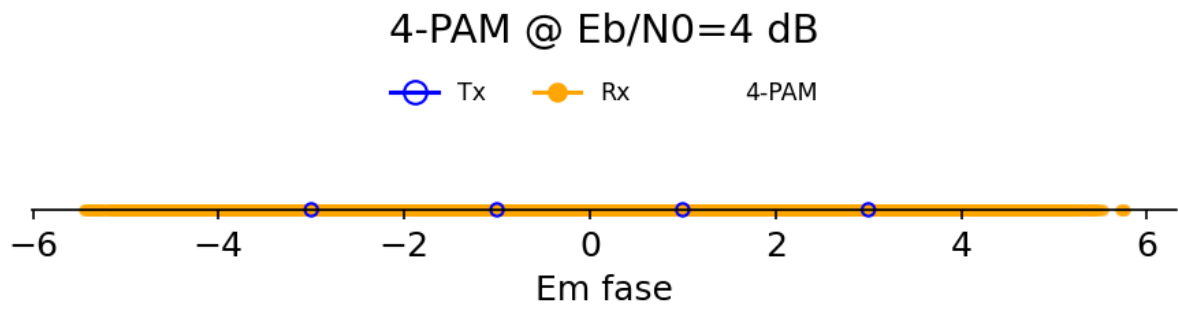


Figure 5: Constelação 4-PAM em $E_b/N_0 = 4$ dB.

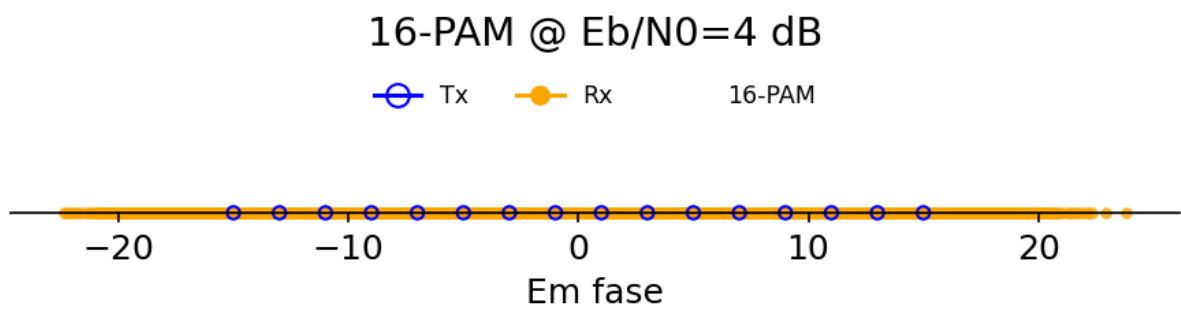


Figure 6: Constelação 16-PAM em $E_b/N_0 = 4$ dB.

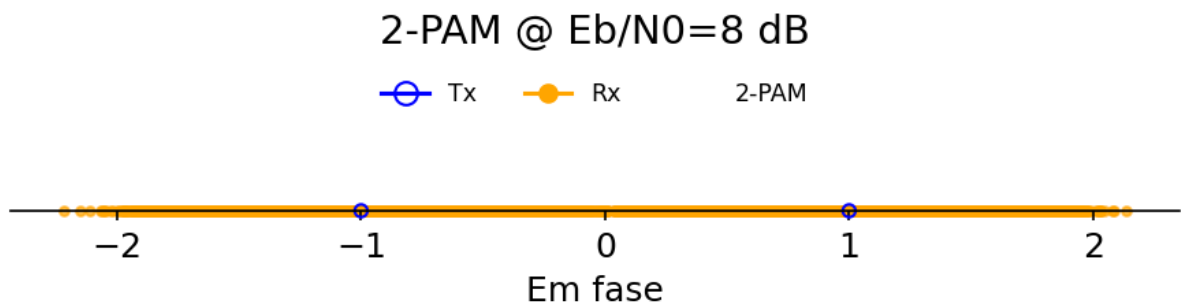


Figure 7: Constelação 2-PAM em $E_b/N_0 = 8$ dB.

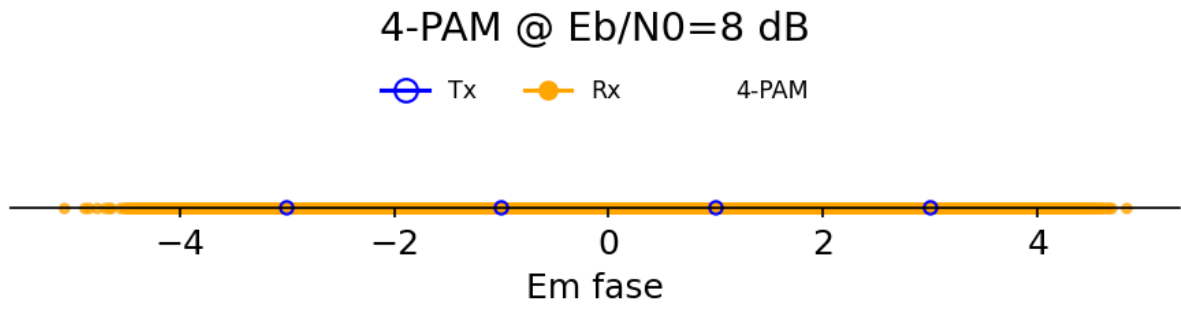


Figure 8: Constelação 4-PAM em $E_b/N_0 = 8$ dB.

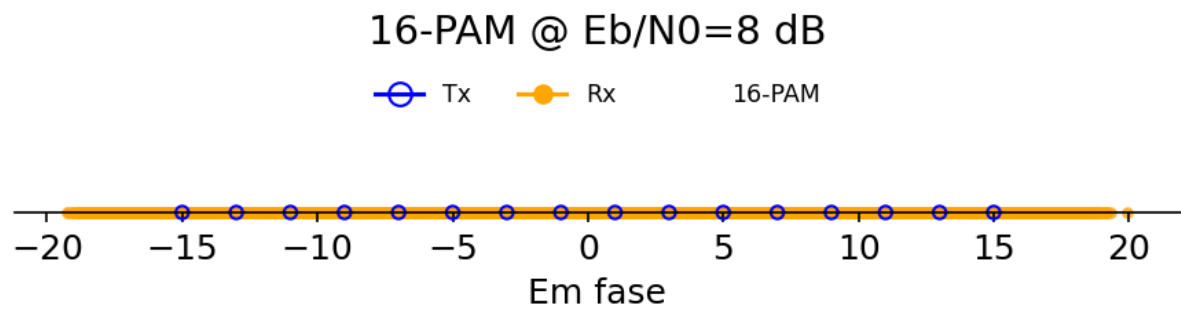


Figure 9: Constelação 16-PAM em $E_b/N_0 = 8$ dB.

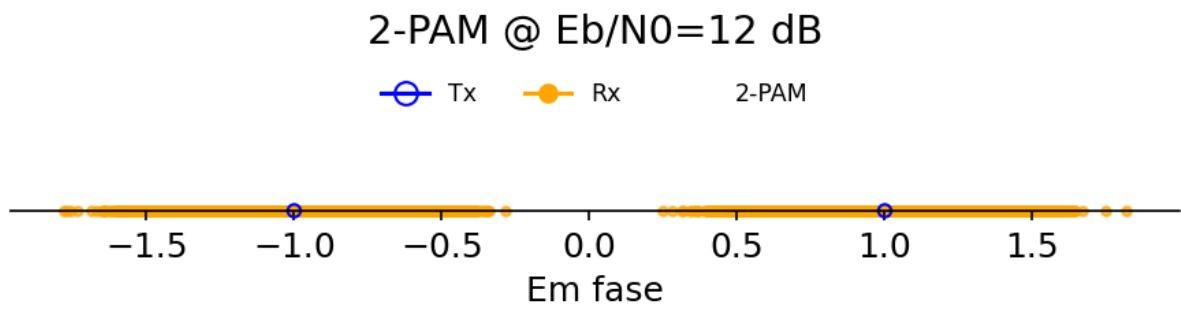


Figure 10: Constelação 2-PAM em $E_b/N_0 = 12$ dB.

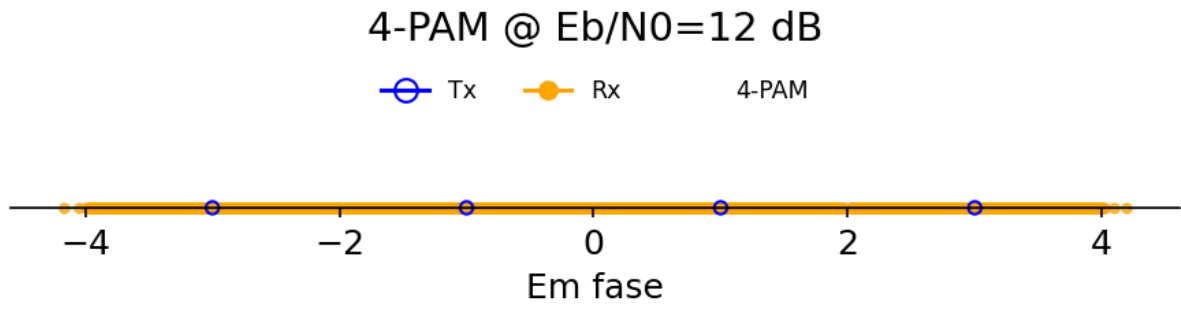


Figure 11: Constelação 4-PAM em $E_b/N_0 = 12$ dB.

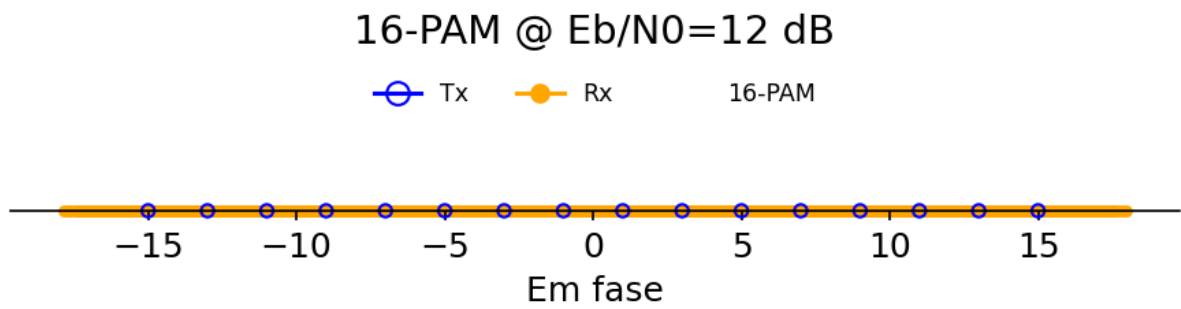


Figure 12: Constelação 16-PAM em $E_b/N_0 = 12$ dB.

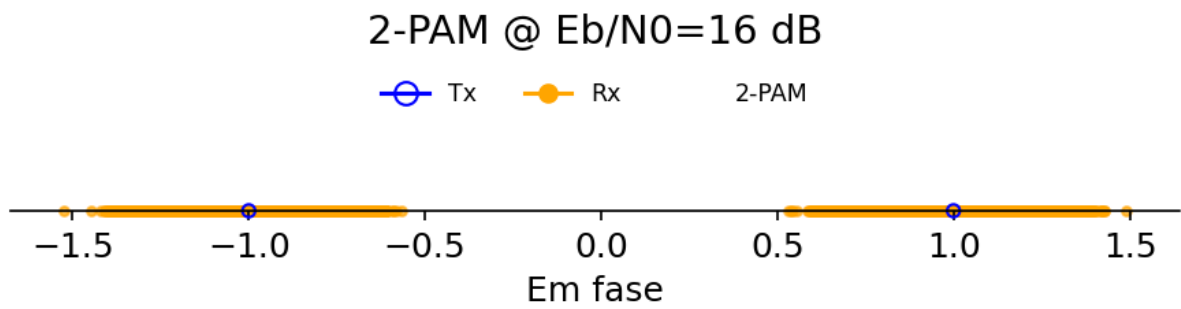


Figure 13: Constelação 2-PAM em $E_b/N_0 = 16$ dB.

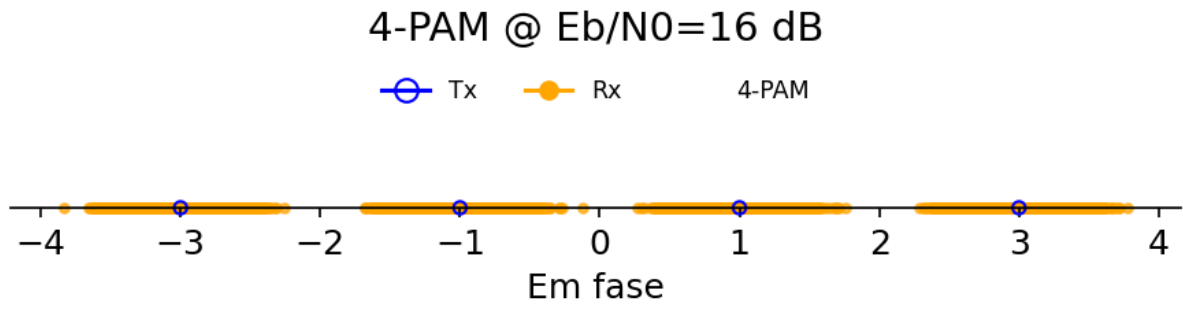


Figure 14: Constelação 4-PAM em $E_b/N_0 = 16$ dB.

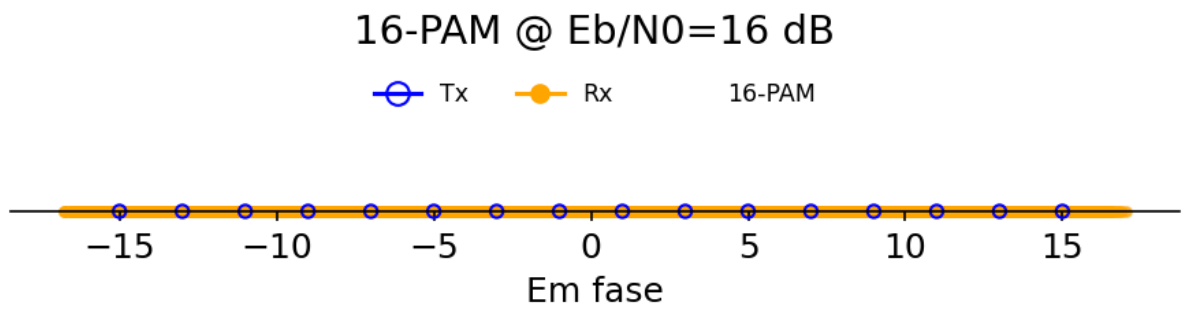


Figure 15: Constelação 16-PAM em $E_b/N_0 = 16$ dB.

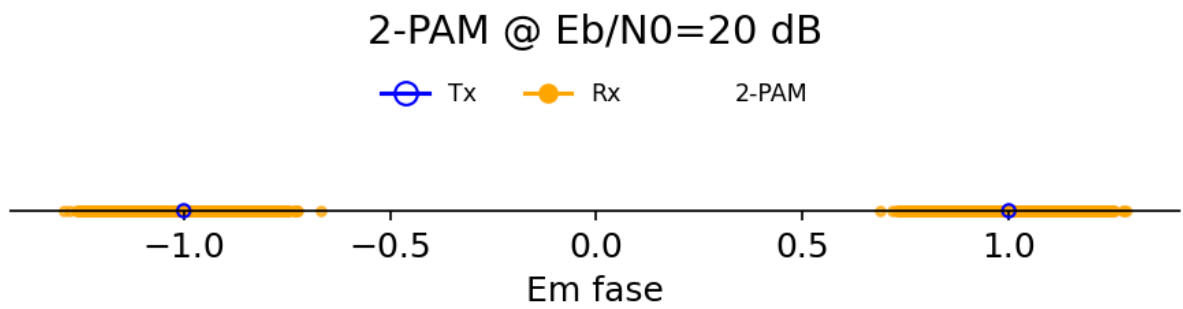


Figure 16: Constelação 2-PAM em $E_b/N_0 = 20$ dB.

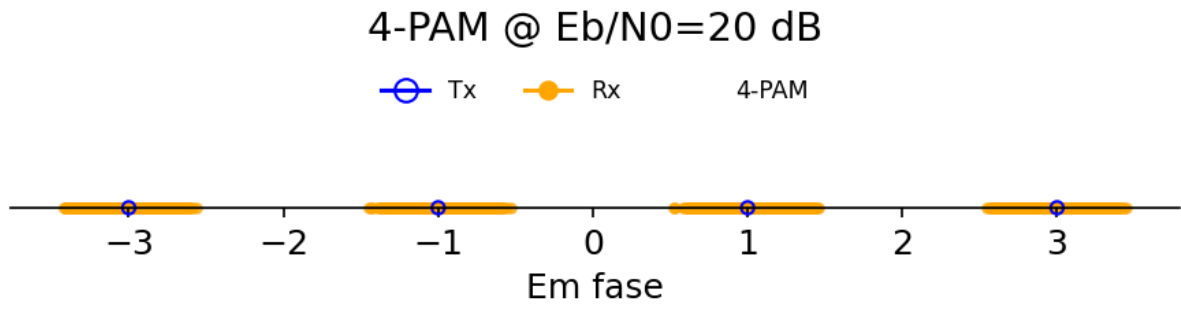


Figure 17: Constelação 4-PAM em $E_b/N_0 = 20$ dB.

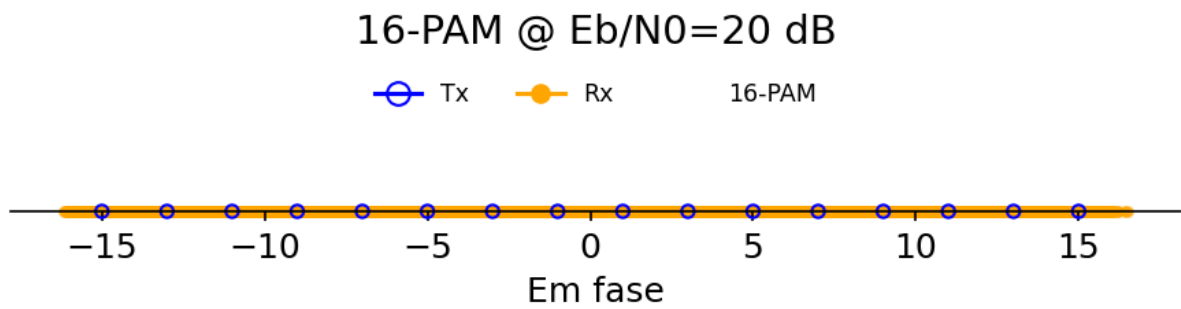


Figure 18: Constelação 16-PAM em $E_b/N_0 = 20$ dB.

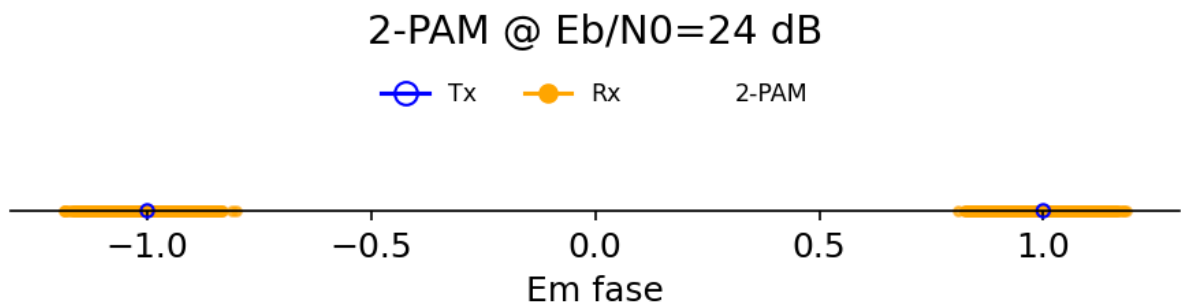


Figure 19: Constelação 2-PAM em $E_b/N_0 = 24$ dB.

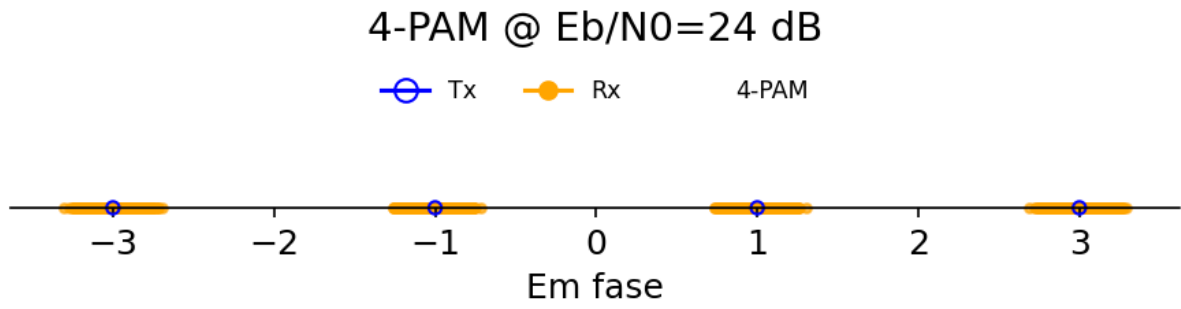


Figure 20: Constelação 4-PAM em $E_b/N_0 = 24$ dB.

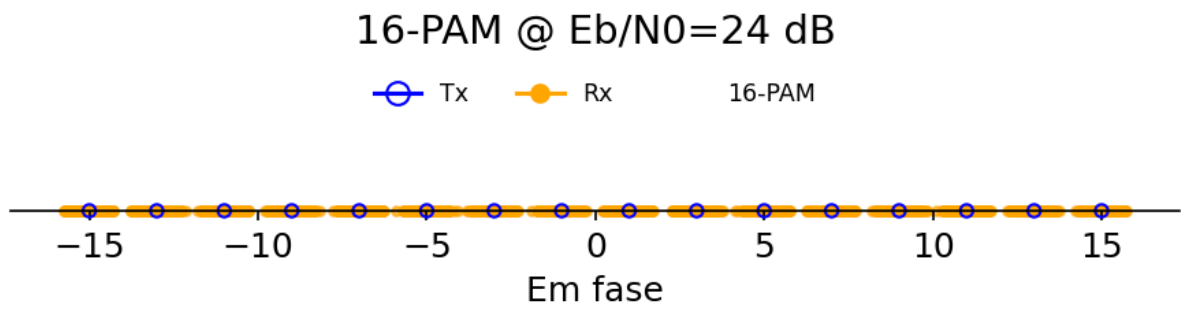


Figure 21: Constelação 16-PAM em $E_b/N_0 = 24$ dB.

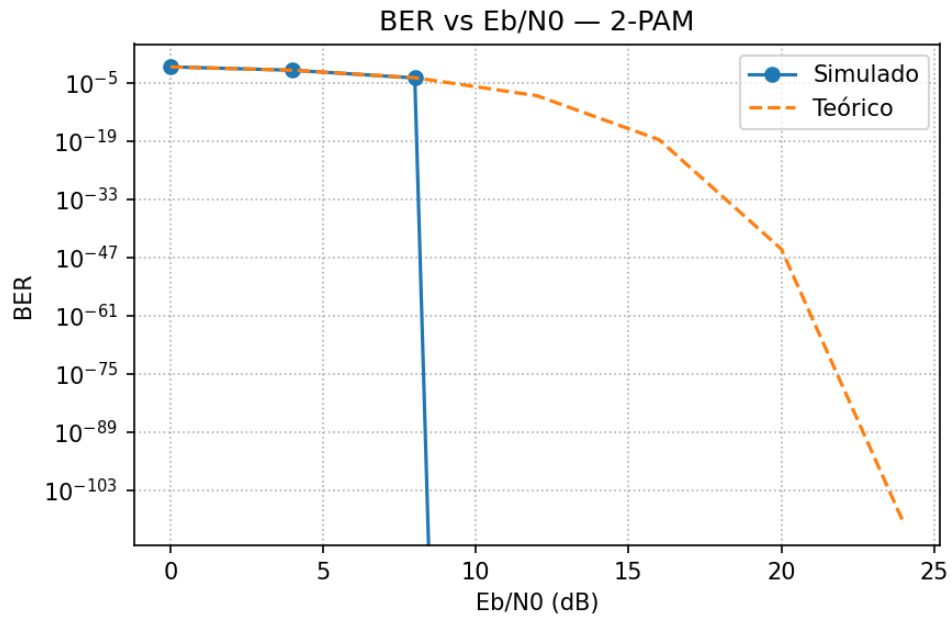


Figure 22: BER vs E_b/N_0 — 2-PAM.

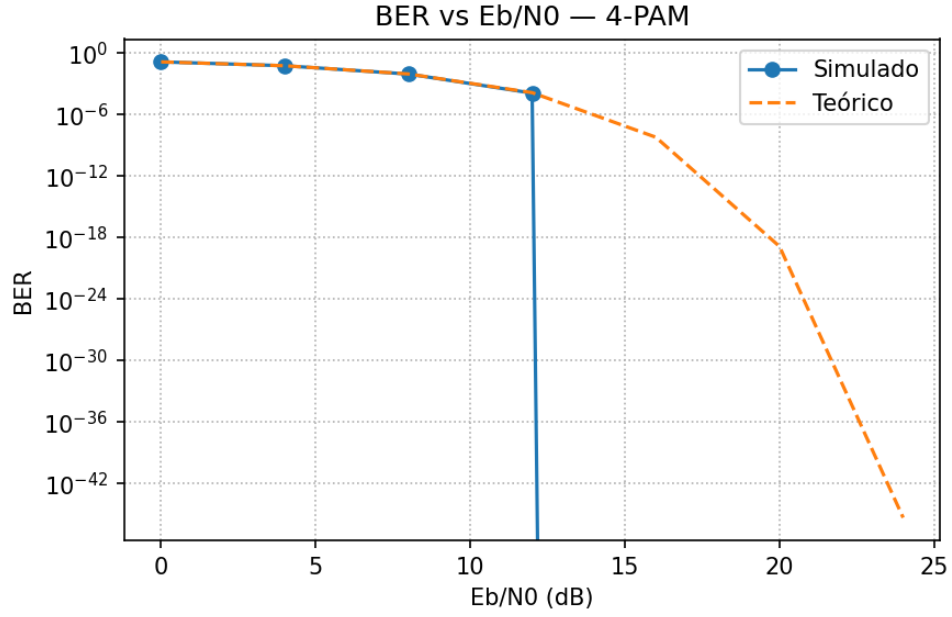


Figure 23: BER vs E_b/N_0 – 4-PAM.

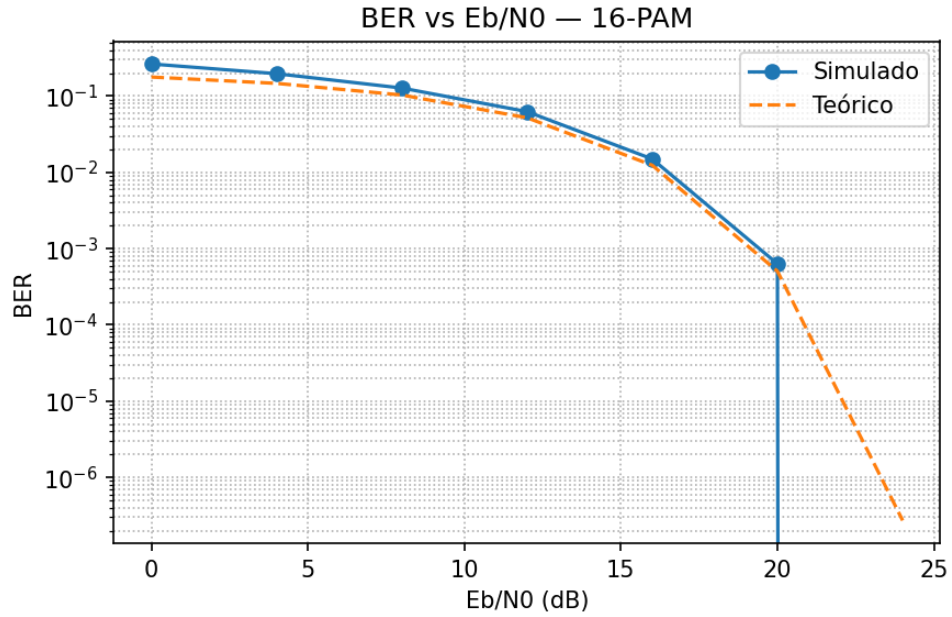


Figure 24: BER vs E_b/N_0 – 16-PAM.

A expressão teórica de BER utilizada baseia-se no cálculo da probabilidade de erro de símbolo para M-PAM em canal AWGN com detetor de máxima verossimilhança. A probabilidade de erro de símbolo P_e ou SER é dada por:

$$P_e = \frac{2(M-1)}{M} Q\left(\sqrt{\frac{6 \log_2(M)}{M^2-1} \frac{E_b}{N_0}}\right)$$

Para converter a SER (probabilidade de erro por símbolo) para a BER (probabilidade

de erro de bit), dividimos pelo número de bits por símbolo:

$$\text{BER} \approx \frac{P_e}{\log_2(M)}$$

Observa-se que pequenas discrepâncias entre os valores simulados e as previsões teóricas devem-se a limitações práticas de cálculo: quanto maior o **span** (extensão do filtro Raiz-Cosseno Levantado em unidades de símbolo), mais próximo o pulso fica do ideal (menor ISI), mas também cresce linearmente o custo computacional de cada convolução. Além disso, aumentar o número de bits para estimar o BER (**num_bits**) incrementaria exponencialmente o tempo de execução, sobrecarregando o processador e obrigando a interromper a simulação antes de atingir a resolução desejada. Caso fosse possível elevar significativamente ambos (**span** e **num_bits**), as curvas simulada e teórica tenderiam a coincidir.

Os *diagramas de constelação* evidenciam a dispersão dos símbolos provocada pelo ruído. Em razões de E_b/N_0 reduzidas (por exemplo, 0–4 dB), as nuvens de pontos apresentam ampla dispersão e sobreposição, resultando em elevadas taxas de erro. À medida que E_b/N_0 aumenta, essas nuvens contraem-se em torno dos níveis ideais (± 1 no caso de 2-PAM, $\pm 1, \pm 3$ na 4-PAM etc.), o que facilita significativamente a distinção entre os símbolos.

Nas *curvas de BER* versus E_b/N_0 , observa-se um decaimento quase exponencial: cada incremento de cerca de 4 dB reduz a BER em aproximadamente uma ordem de magnitude.

Ao comparar as curvas de BER para distintos ordens de modulação M-PAM, verifica-se que, para um mesmo valor de E_b/N_0 , a taxa de erro cresce com o aumento de M . Por exemplo, em $E_b/N_0 = 8$ dB, o BER aproximado é da ordem de 10^{-3} para 2-PAM, de 10^{-2} para 4-PAM e de 10^{-1} para 16-PAM. Isso ocorre porque, ao dobrar o número de níveis de amplitude, duplica-se também o número de limiares de decisão, tornando os símbolos mais próximos e, portanto, mais suscetíveis a confusões induzidas pelo ruído.

Além disso, embora todas as curvas decaiam quase exponencialmente, a inclinação efetiva (o “declive” da curva) torna-se menos acentuada para modulações de ordem mais alta. Em 2-PAM, a redução de BER entre 4 dB e 8 dB pode alcançar cerca de duas ordens de magnitude, enquanto em 16-PAM o mesmo incremento de 4 dB costuma representar apenas meia a uma ordem de magnitude. Isso reflete o fato de que modulações de ordem maior exigem ganhos de E_b/N_0 progressivamente maiores para atingir níveis de erro equivalentes aos observados em modulações mais simples.

Questão 2

M-QAM

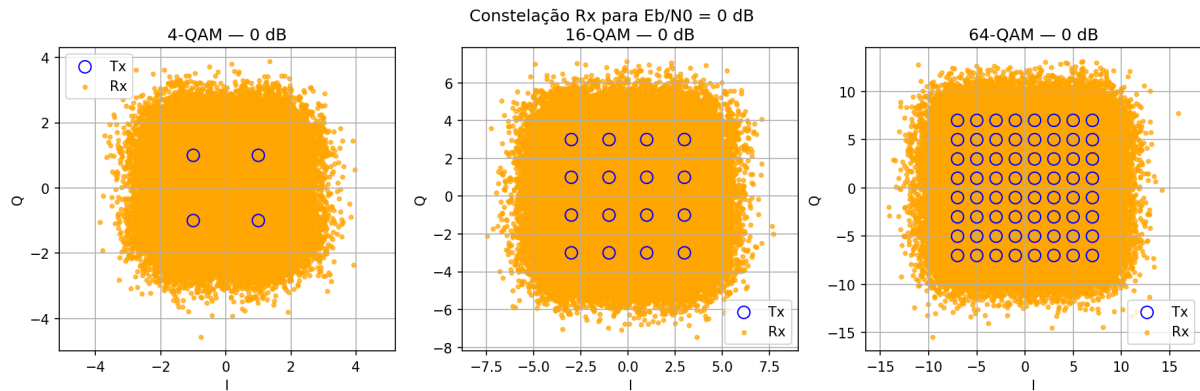


Figure 25: $E_b/N_0=0$ dB para M-QAM.

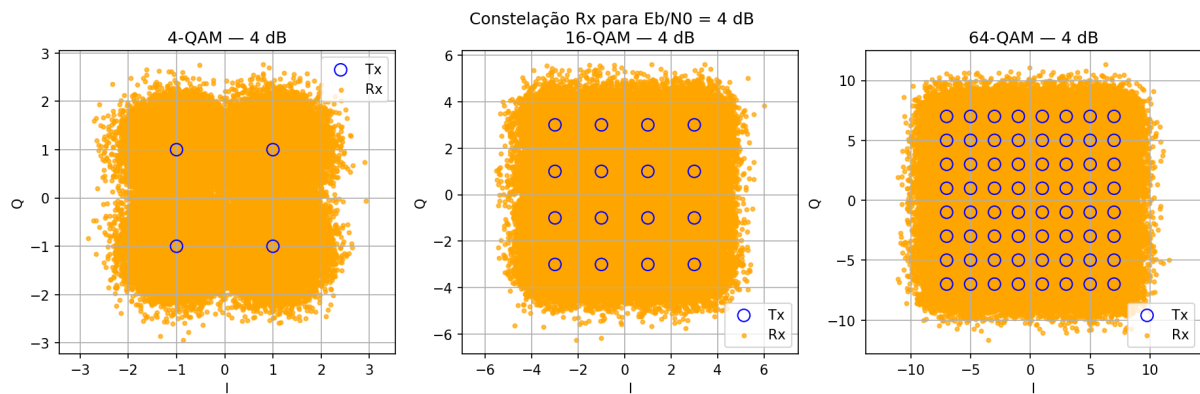


Figure 26: $E_b/N_0=4$ dB para M-QAM.

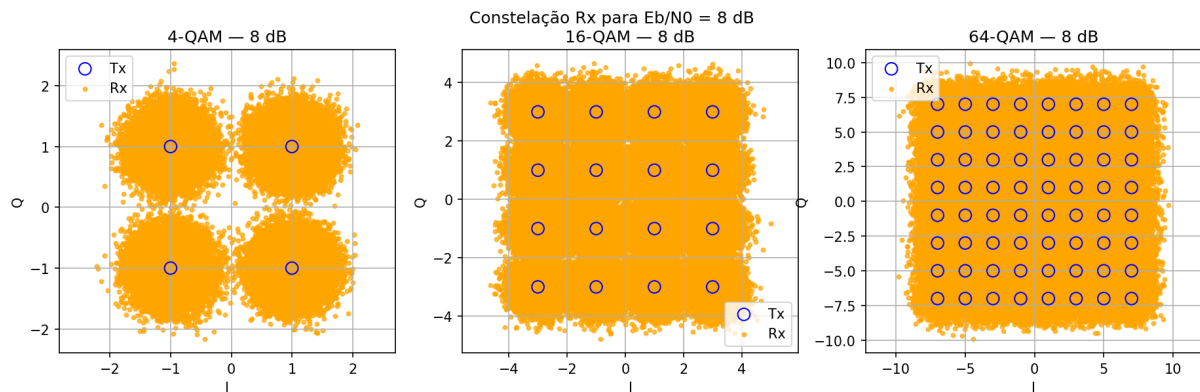


Figure 27: $E_b/N_0=8$ dB para M-QAM.

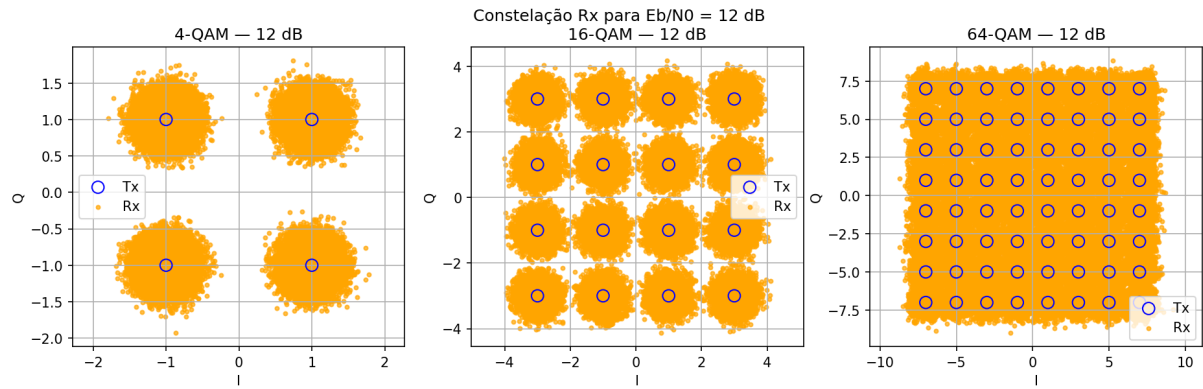


Figure 28: $E_b/N_0=12$ dB para M-QAM.

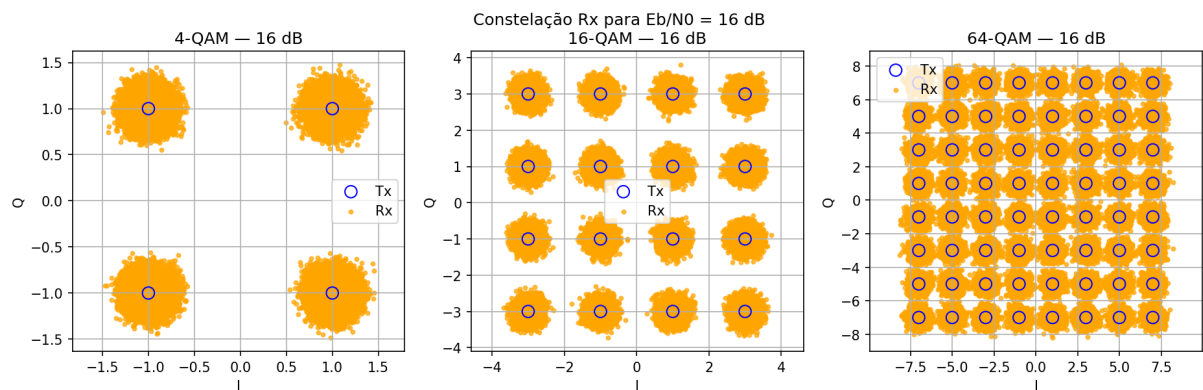


Figure 29: $E_b/N_0=16$ dB para M-QAM.

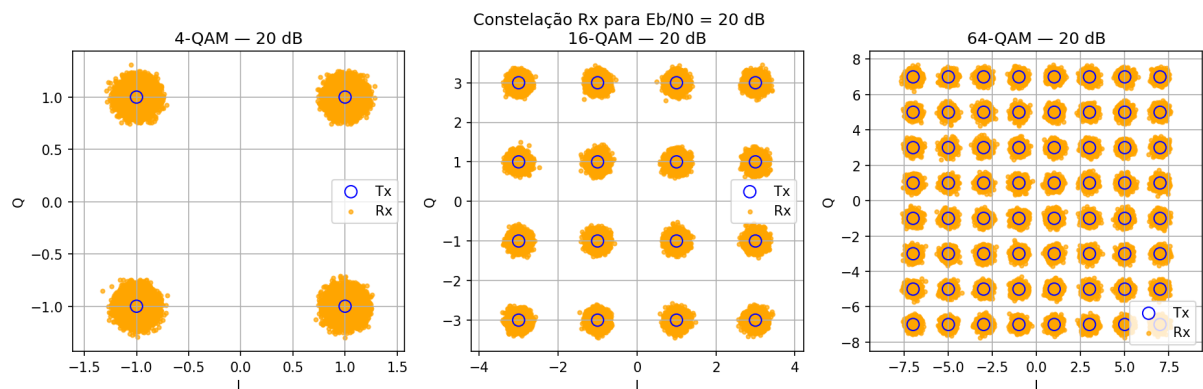


Figure 30: $E_b/N_0=20$ dB para M-QAM.

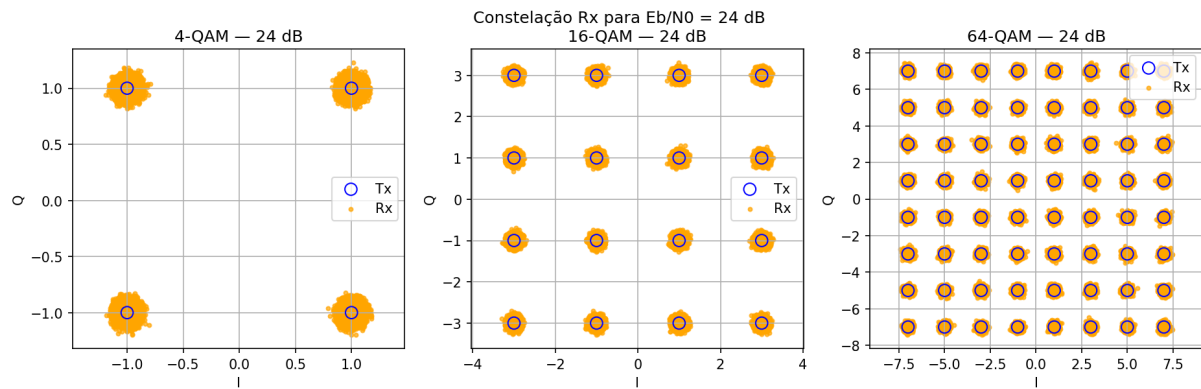


Figure 31: $E_b/N_0=24$ dB para M-QAM.

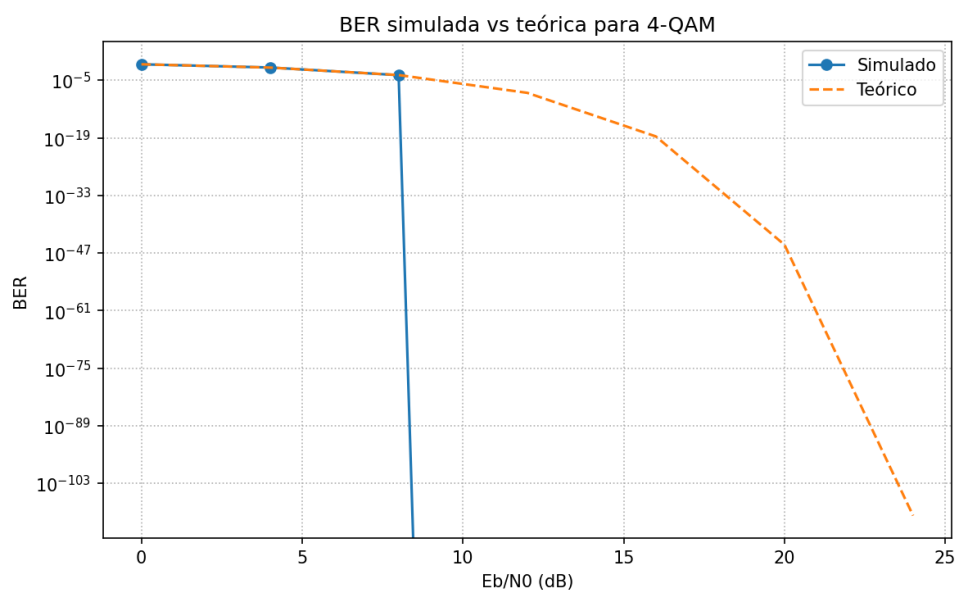


Figure 32: BER vs E_b/N_0 – 4-QAM.

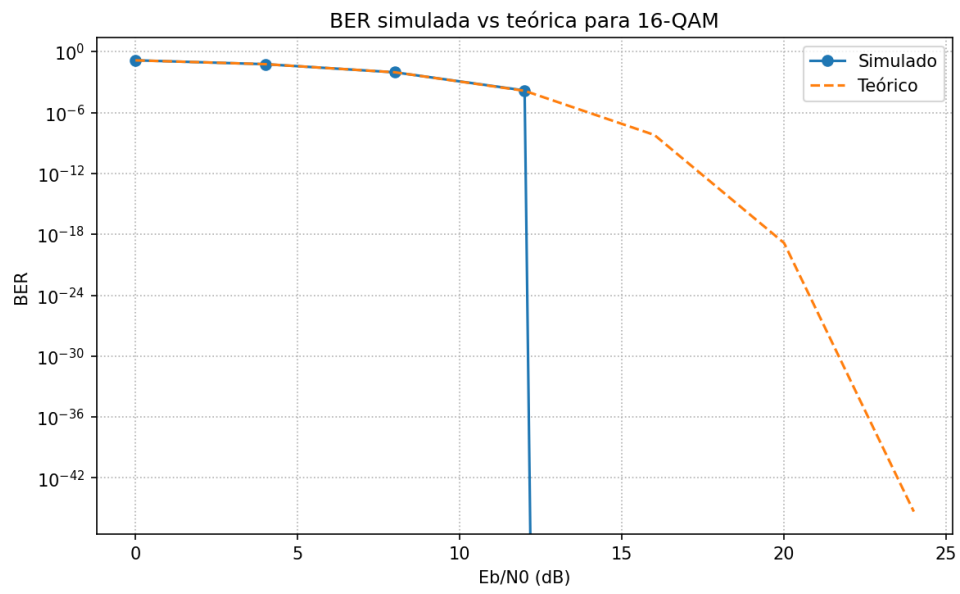


Figure 33: BER vs E_b/N_0 – 16-QAM.

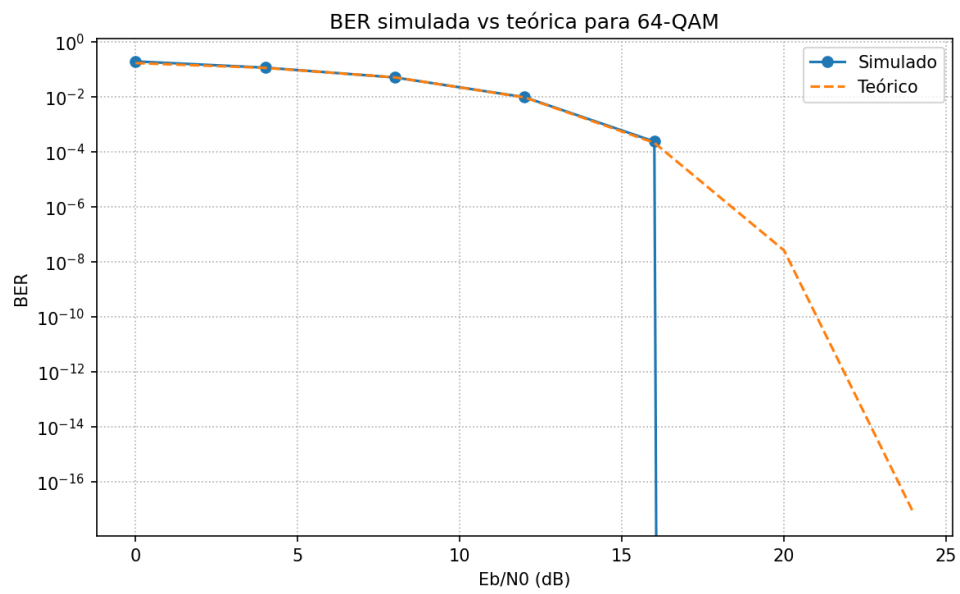


Figure 34: BER vs E_b/N_0 – 64-QAM.

M-PSK

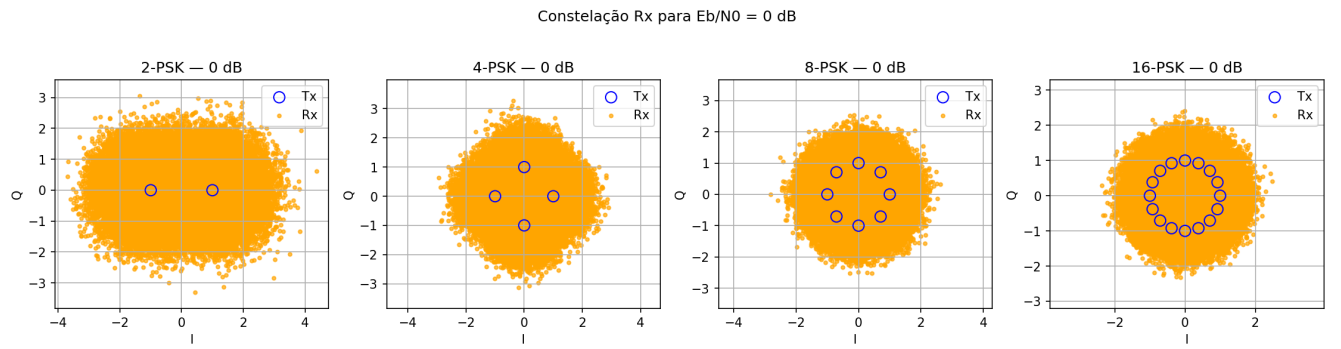


Figure 35: $E_b/N_0=0$ dB para M-PSK.

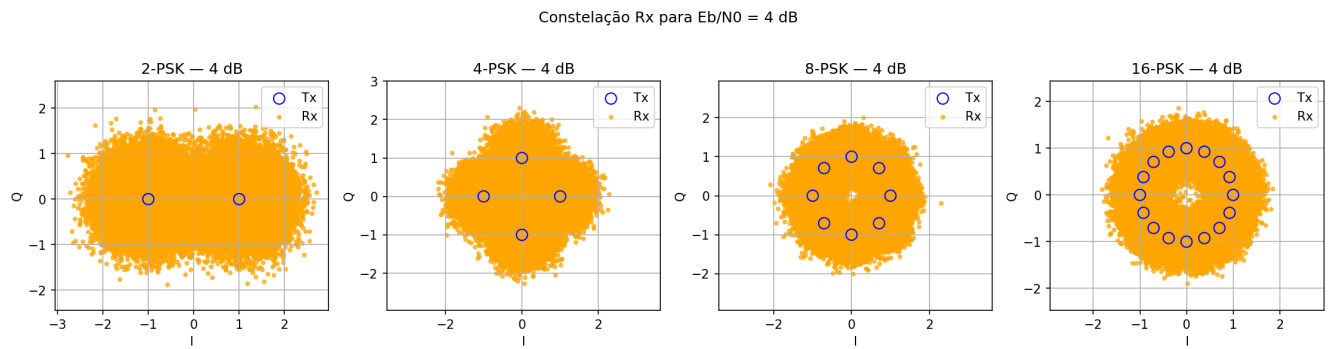


Figure 36: $E_b/N_0=4$ dB para M-PSK.

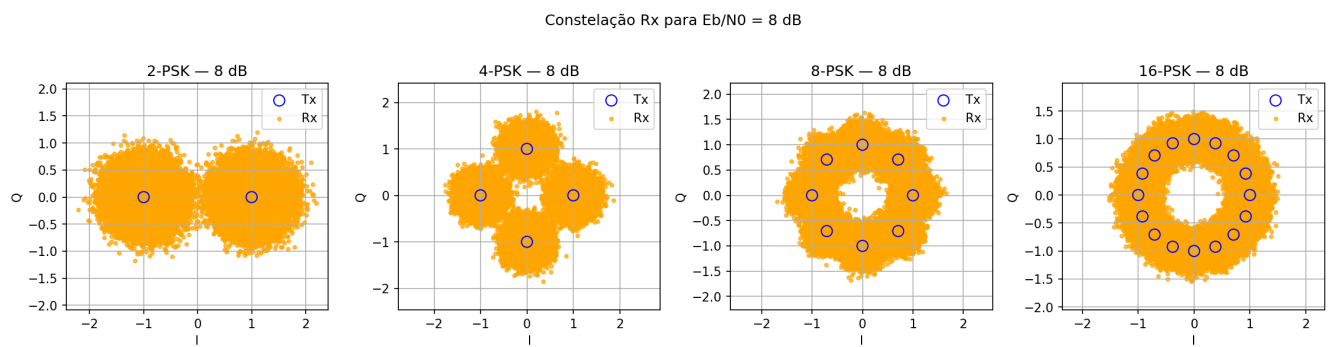


Figure 37: $E_b/N_0=8$ dB para M-PSK.

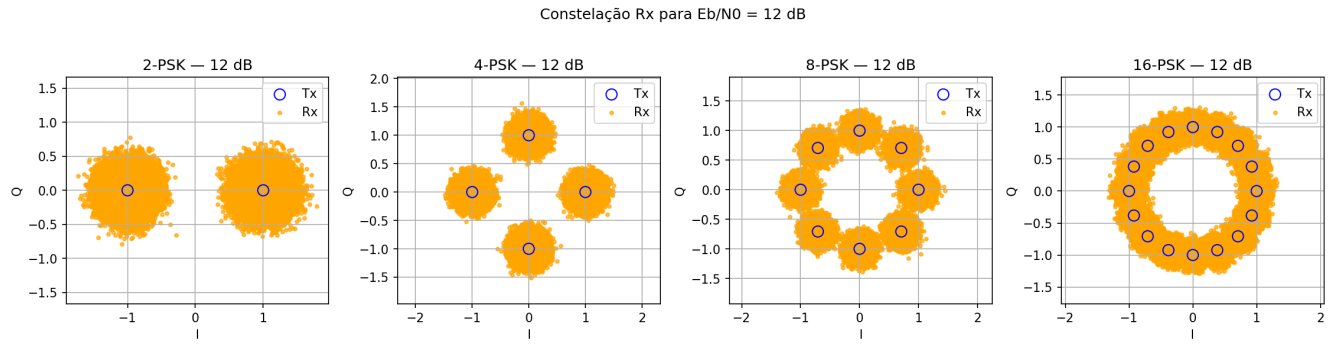


Figure 38: $E_b/N_0=12$ dB para M-PSK.

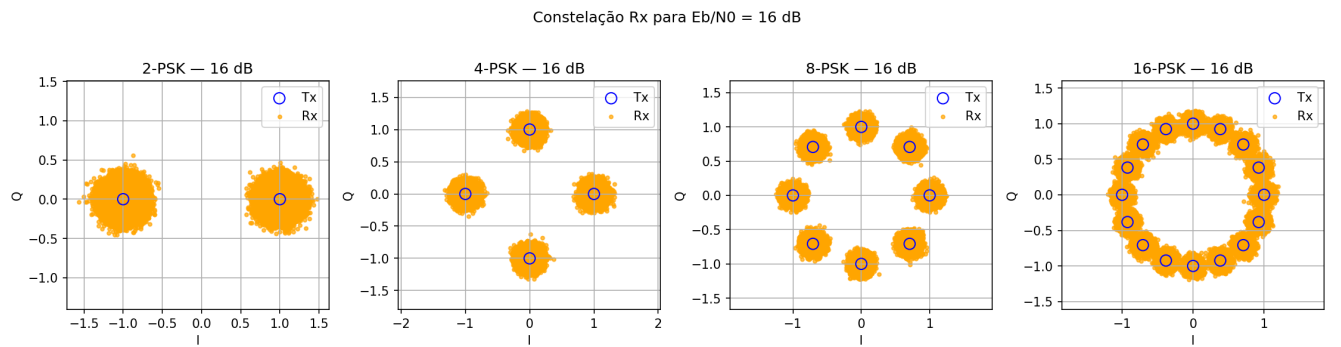


Figure 39: $E_b/N_0=16$ dB para M-PSK.

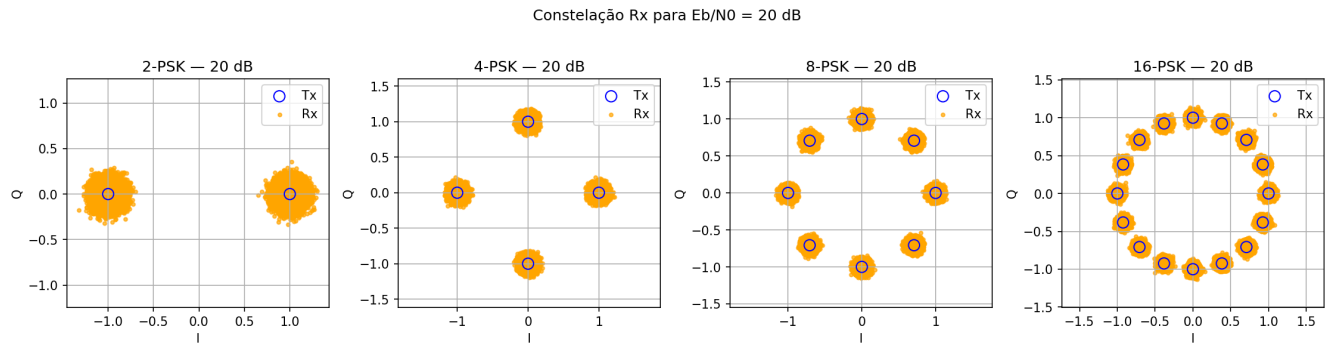


Figure 40: $E_b/N_0=20$ dB para M-PSK.

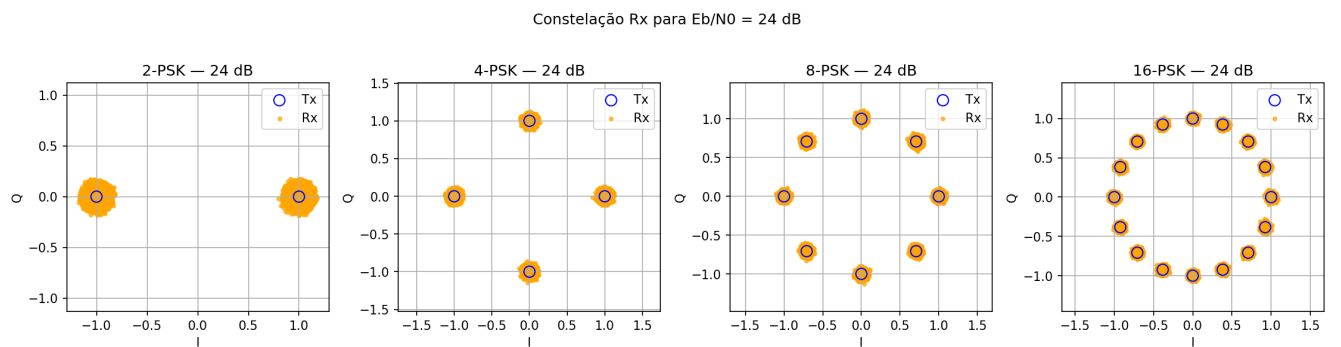


Figure 41: $E_b/N_0=24$ dB para M-PSK.

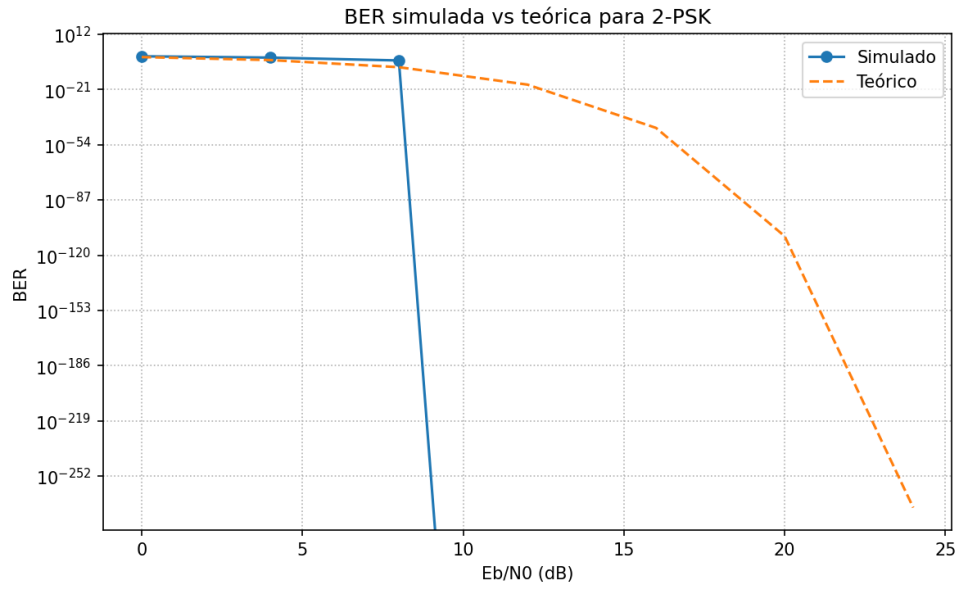


Figure 42: BER vs E_b/N_0 – 2-PSK.

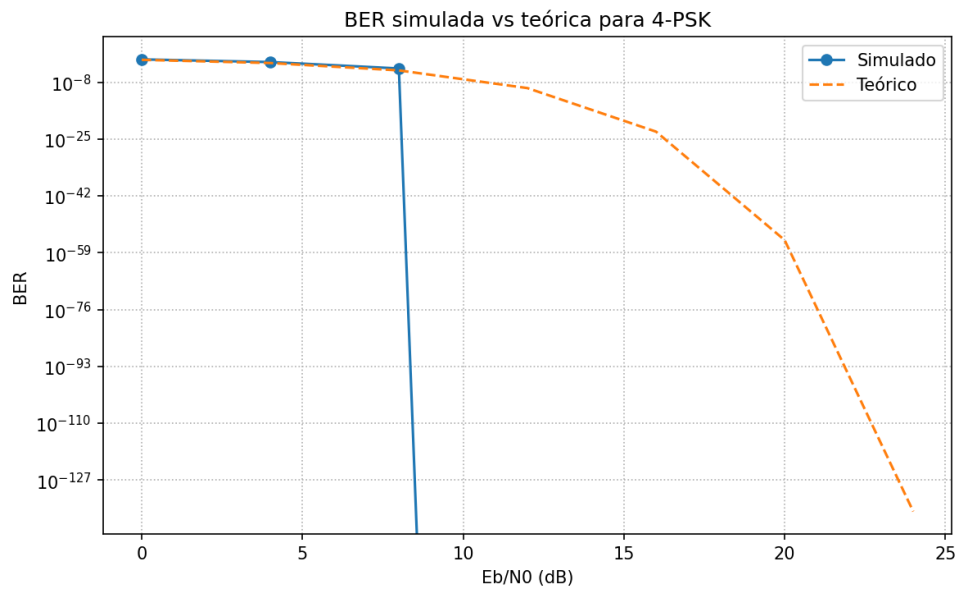


Figure 43: BER vs E_b/N_0 – 4-PSK.

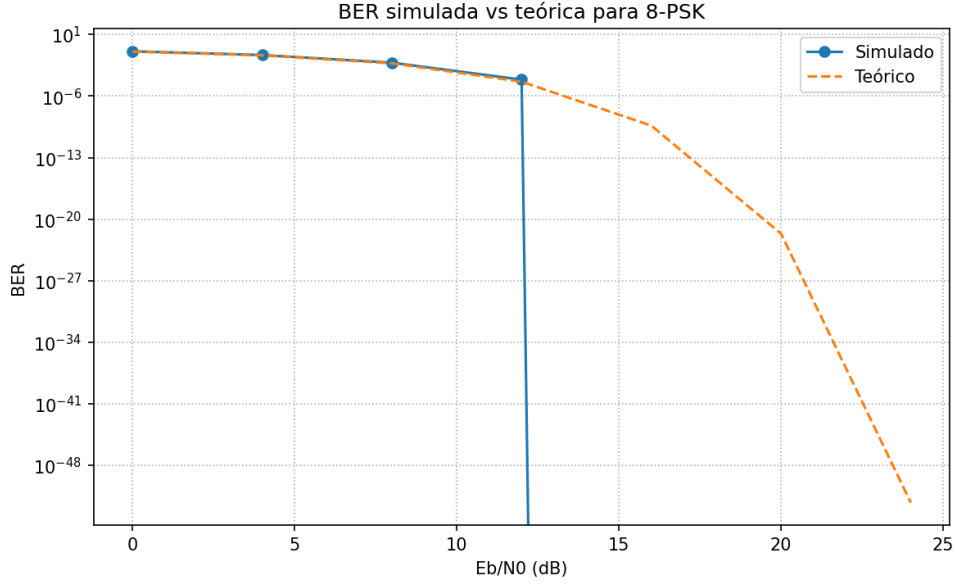


Figure 44: BER vs E_b/N_0 – 8-PSK.

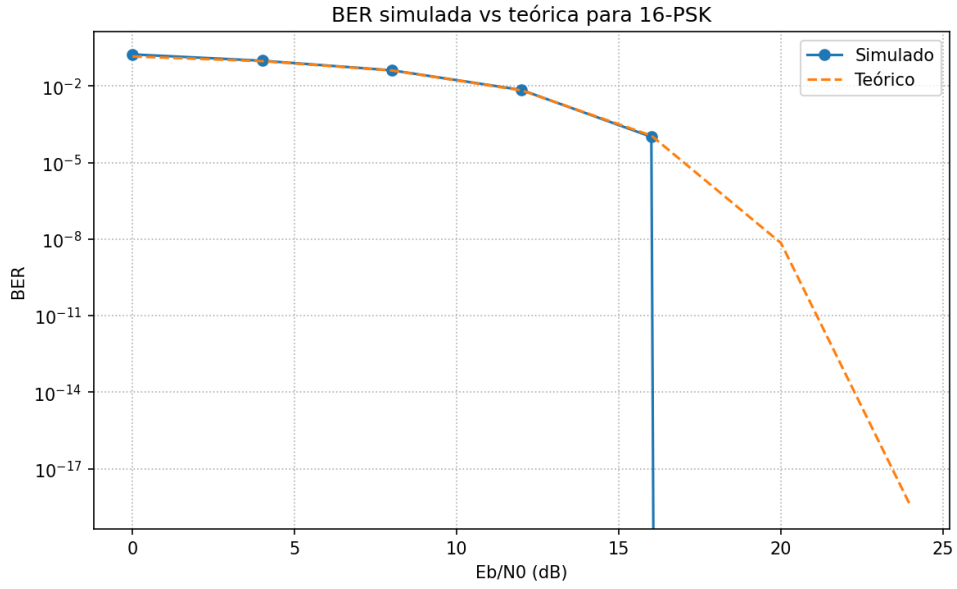


Figure 45: BER vs E_b/N_0 – 16-PSK.

Para M-QAM em canal AWGN com detector de máxima verossimilhança, a probabilidade de erro de símbolo P_e (SER) é dada por:

$$P_e = 4 \left(1 - \frac{1}{\sqrt{M}} \right) Q \left(\sqrt{\frac{3 \log_2 M}{M-1} \frac{E_b}{N_0}} \right)$$

Para converter de SER para BER (erro de bit), dividimos por $\log_2 M$:

$$\text{BER} \approx \frac{P_e}{\log_2 M} = \frac{4}{\log_2 M} \left(1 - \frac{1}{\sqrt{M}} \right) Q \left(\sqrt{\frac{3 \log_2 M}{M-1} \frac{E_b}{N_0}} \right).$$

Para M-PSK coerente em canal AWGN, usando a aproximação válida para $E_b/N_0 \gg 1$ e $M > 2$, a probabilidade de erro de símbolo é

$$P_e \approx 2Q\left(\sqrt{\frac{2\pi^2 \log_2 M}{M^2} \frac{E_b}{N_0}}\right)$$

e a BER resultante é:

$$\text{BER} \approx \frac{P_e}{\log_2 M} = \frac{2}{\log_2 M} Q\left(\sqrt{\frac{2\pi^2 \log_2 M}{M^2} \frac{E_b}{N_0}}\right).$$

Observou-se que, assim como em M -PAM, as constelações em M -QAM e nos esquemas M -PSK exibem grande dispersão em níveis baixos de E_b/N_0 , passando por um afinamento progressivo dos “grupos” de símbolos à medida que o E_b/N_0 aumenta.

Quando a ordem de modulação M aumenta e mantemos a mesma relação E_b/N_0 , os pontos da constelação ficam mais próximos uns dos outros. Consequentemente, qualquer ruído ou distorção faz com que os símbolos recebidos se misturem com maior facilidade, aumentando a probabilidade de erro na decisão.

As curvas de BER obtidas na Questão 2 seguem exatamente as mesmas tendências e conclusões da Questão 1: o BER simulado aproxima-se do valor teórico para E_b/N_0 e para ordens de modulação maiores o erro cresce mais rapidamente.

Códigos Utilizados

A seguir, apresentam-se os códigos em Python utilizados no relatório.

Questão 1

```
import numpy as np
import matplotlib
matplotlib.use('Agg')          # backend sem janelas
import matplotlib.pyplot as plt
from scipy.special import erfc
from matplotlib.lines import Line2D

# --- Parâmetros gerais -----
b_values      = [1, 2, 4]      # Bits por símbolo
        2-PAM, 4-PAM, 16-PAM
num_symbols    = 1000_00      # símbolos por sequência
EbN0_dB_range = np.arange(0, 25, 4) # Eb/NO em dB: [0,4,8,
        ,24]
alpha, sps, span = 0.15, 16, 40 # RRC: roll off,
        samples/símbolo, span em símbolos

# --- 1) Gera coeficientes RRC (p) e matched filter (q)
-----
def design_rrc(alpha, span, sps):
```

```

N = span * sps + 1                                # Numero de taps: suporte
total x amostras + 1
t = np.linspace(-span/2, span/2, N)               # Eixo do tempo de -span
/2 a +span/2
h = np.zeros_like(t)
for i, ti in enumerate(t):
    if np.isclose(ti, 0):
        # formula do RRC no tempo zero
        h[i] = 1 + alpha*(4/np.pi - 1)
    elif np.isclose(abs(ti), 1/(4*alpha)):
        # formula em ti = +-1/(4alpha)
        h[i] = (alpha/np.sqrt(2))*(
            (1 + 2/np.pi)*np.sin(np.pi/(4*alpha)) +
            (1 - 2/np.pi)*np.cos(np.pi/(4*alpha))
        )
    else:
        # expressao geral do pulso RRC
        num = np.sin(np.pi*ti*(1-alpha)) + 4*alpha*ti*np.cos(
            np.pi*ti*(1+alpha))
        den = np.pi*ti*(1 - (4*alpha*ti)**2)
        h[i] = num/den
h /= np.linalg.norm(h)                            # Normaliza a energia do
filtro para 1
return h, h[::-1]                                # Retorna p e q (espelhado
)

p, q = design_rrc(alpha, span, sps)
delay = len(p) - 1

# --- 2) Map bits      símbolos Gray PAM
-----
def bits_to_symbols(bits, b):
    syms = bits.reshape(-1, b)
    ints = syms.dot(1 << np.arange(b)[::-1])
    gray = ints ^ (ints >> 1)
    M = 2**b
    return 2*gray - (M - 1)

# --- 3) Pulse shaping (banda base)
-----
def transmit(a, p, sps):
    ups = np.zeros(len(a)*sps)
    ups[::sps] = a
    return np.convolve(ups, p, mode='full')

# --- 4) Canal AWGN -----
def awgn(x, Eb, EbN0_dB):
    N0 = Eb / (10**((EbN0_dB/10)))
    sigma = np.sqrt(N0/2)
    return x + sigma*np.random.randn(len(x))

```

```

# --- 5) Recepção (matched filter + downsample)
-----
def receive(y, q, sps, delay):
    z = np.convolve(y, q, mode='full')
    return z[delay::sps]

# --- 6) Decisão s y m b o l bysymbol
-----
def detect(y_s, M):
    consts = np.arange(-M+1, M, 2)
    idxs = np.argmin(np.abs(y_s[:,None] - consts[None,:]), axis
                      =1)
    return consts[idxs]

# --- 7) BER teórico para Gray PAM
-----
def ber_theoretical(EbN0_dB, M, b):
    k = np.log2(M)
    EbN0 = 10**((EbN0_dB/10)
    # argumento corretamente normalizado para erfc
    arg = np.sqrt(((6*k)/(M**2 - 1)) * EbN0)
    # SER = 2*(M-1)/M * Q(arg)
    Pe = (2*(M-1)/M) * 0.5 * erfc(arg/np.sqrt(2))
    # BER = SER / k
    return Pe / k

# --- prepara constelações ideais -----
tx_constellation = {
    b: np.arange(-2**b+1, 2**b, 2)
    for b in b_values
}
rx_constellation = {
    Eb: {} for Eb in EbN0_dB_range
}

# --- 8) Simulação e plot de BER vs Eb/N0
-----
for b in b_values:
    M = 2**b
    ber_sim, ber_th = [], []
    for EbN0_dB in EbN0_dB_range:
        bits = np.random.randint(0, 2, b * num_symbols)
        a = bits_to_symbols(bits, b)
        x = transmit(a, p, sps)
        Eb = np.mean(a**2)/b
        y = awgn(x, Eb, EbN0_dB)
        y_s = receive(y, q, sps, delay)[:len(a)]
        decisions = detect(y_s, M)
        # 1. Converte símbolo - código Gray inteiro
        gray_rx = (decisions + (M-1)) // 2

```

```

# 2. Reverte Gray - binário inteiro
bin_rx = gray_rx.copy()
shift = gray_rx >> 1
while np.any(shift):
    bin_rx ^= shift
    shift >>= 1

# 3. Expande inteiro - bits Rx
# bin_rx.shape = (num_symbols,)
# queremos bits_rx.shape = (num_symbols * b,)
bits_rx = ((bin_rx[:,None] >> np.arange(b)[::-1]) & 1).
    flatten()

# 4. Calcula BER
ber_sim.append(np.mean(bits_rx != bits))
ber_th.append(ber_theoretical(EbN0_dB, M, b))
fig, ax = plt.subplots(figsize=(6,4))
ax.semilogy(EbN0_dB_range, ber_sim, 'o-', label='Simulado')
ax.semilogy(EbN0_dB_range, ber_th, '--', label='Teórico')
ax.set_xlabel('Eb/NO (dB)'); ax.set_ylabel('BER')
ax.set_title(f'BER vs Eb/NO - {M}-PAM')
ax.grid(True, which='both', linestyle=':')
ax.legend()
fig.tight_layout()
fig.savefig(f'ber_{M}PAM.png', dpi=150, bbox_inches='tight')
plt.close(fig)

#--- 9) Constelacoes b a n d a base , um figure por M-PAM
-----
for EbN0_dB in EbN0_dB_range:
    for b in b_values:
        M = 2**b

        # prepara os dados
        bits = np.random.randint(0, 2, b * num_symbols)
        a = bits_to_symbols(bits, b)
        x = transmit(a, p, sps)
        Eb = np.mean(a**2)/b
        y = awgn(x, Eb, EbN0_dB)
        y_s = receive(y, q, sps, delay)[:len(a)]

        # novo figure + ax para **apenas** este M-PAM
        fig, ax = plt.subplots(figsize=(6, 2))

        # plota Tx ideal
        ax.scatter(
            tx_constellation[b],
            np.zeros_like(tx_constellation[b]),
            s=20, edgecolors='blue', facecolors='none',
            label='Tx', zorder=2

```

```

)
# plota Rx
ax.scatter(
    y_s,
    np.zeros_like(y_s),
    s=10, color='orange', alpha=0.7,
    label='Rx', zorder=1
)

# legenda customizada
handles = [
    Line2D([0], [0], marker='o', color='blue',
           label='Tx', markerfacecolor='none', markersize
           =8),
    Line2D([0], [0], marker='o', color='orange',
           label='Rx', markersize=6),
    Line2D([0], [0], linestyle='None', marker='',
           label=f'{M}-PAM')
]
ax.legend(
    handles=handles,
    loc='upper center',
    fontsize='small',
    ncol=3,
    frameon=False
)

# limpa eixo Y e posiciona X em y=0
ax.set_yticks([])
for spine in ['left', 'top', 'right']:
    ax.spines[spine].set_visible(False)
ax.spines['bottom'].set_position(('data', 0))

# aumenta tamanho dos ticks do eixo X
ax.tick_params(axis='x', labelsiz=12)

ax.set_xlabel('Em fase', fontsize=12)
ax.set_title(f'{M}-PAM @ Eb/NO={EbNO_dB} dB', fontsize
            =14)
ax.grid(False)

fig.tight_layout()
# salva um PNG por M-PAM *** Eb/NO
fig.savefig(f'constellation_{M}PAM_{EbNO_dB}dB.png',
            dpi=150, bbox_inches='tight')
plt.close(fig)

```

Questão 2

M-QAM

```

import numpy as np
import matplotlib.pyplot as plt
from commpy.modulation import QAMModem
from scipy.special import erfc

# -- Parametros gerais -----
alpha = 0.15
T = 1e-3
span = 40
fc = 100e6
Fs = 4 * fc
upsample_rate = 16
num_symbols = 1000_00
EbN0_dB_range = np.arange(0, 25, 4)

# -- Gera vetor de tempo e pulso RRC
-----
# 2) Gera os coeficientes do filtro RRC (p) e do matched filter (
# q = p invertido)
def design_rrc(alpha, span, sps):
    N = span * sps + 1 # Numero de taps: suporte
    total x amostras + 1
    t = np.linspace(-span/2, span/2, N) # Eixo do tempo de -span
    /2 a +span/2
    h = np.zeros_like(t)
    for i, ti in enumerate(t):
        if np.isclose(ti, 0):
            # formula do RRC no tempo zero
            h[i] = 1 + alpha*(4/np.pi - 1)
        elif np.isclose(abs(ti), 1/(4*alpha)):
            # formula em ti = +-1/(4*alpha)
            h[i] = (alpha/np.sqrt(2))*(
                (1 + 2/np.pi)*np.sin(np.pi/(4*alpha)) +
                (1 - 2/np.pi)*np.cos(np.pi/(4*alpha))
            )
        else:
            # expressao geral do pulso RRC
            num = np.sin(np.pi*ti*(1-alpha)) + 4*alpha*ti*np.cos(
                np.pi*ti*(1+alpha))
            den = np.pi*ti*(1 - (4*alpha*ti)**2)
            h[i] = num/den
    h /= np.linalg.norm(h) # Normaliza a energia do
    filtro para 1
    return h, h[::-1] # Retorna p e q (espelhado
    )

p, q = design_rrc(alpha, span, upsample_rate)
delay = len(p) - 1 # Atraso total do par de
filtros
N = len(p)
t = np.linspace(-span/2, span/2, N)

```



```

# -- Plota o pulso RRC -----
plt.figure(figsize=(8,3))
plt.plot(t, p, linewidth=1.5)
plt.title(f'Pulso RRC (alpha={alpha}, T={T*1e3:.1f} ms, span={
    span})')
plt.xlabel('Tempo (s)'); plt.ylabel('Amplitude')
plt.grid(True); plt.tight_layout()
plt.show()

# -- Funcoes de up-sampling -----
def upsample(x, L):
    y = np.zeros(len(x) * L, dtype=x.dtype)
    y[::L] = x
    return y

# -- Simulacao para cada b = 2,4,6
-----
b_values = [2, 4, 6]
received = {}
tx_constellation = {}
rx_constellation = {EbNO_dB: {} for EbNO_dB in EbNO_dB_range}

for b in b_values:
    M = 2**b

    #Modulacao M-QAM
    modem = QAMModem(M)

    ber_sim = []
    ber_th = []
    # guarda constelacao pura
    tx_constellation[b] = modem.constellation.copy()

    for EbNO_dB in EbNO_dB_range:
        #geracao da entrada com bits aleatorios
        bits = np.random.randint(0, 2, b * num_symbols)

        #modula essa entrada com M-QAM
        symbols_tx = modem.modulate(bits)
        I_seq, Q_seq = symbols_tx.real, symbols_tx.imag

        #upsampling
        I_up = upsample(I_seq, upsample_rate)
        Q_up = upsample(Q_seq, upsample_rate)

        #convolucao com p(t)
        I_t = np.convolve(I_up, p, mode='full')
        Q_t = np.convolve(Q_up, p, mode='full')

        #multiplicacao por cos e sen (portadora)

```

```

t_sig = np.arange(len(I_t)) / Fs
carrier_cos = np.sqrt(2)*np.cos(2*np.pi*fc*t_sig)
carrier_sin = np.sqrt(2)*np.sin(2*np.pi*fc*t_sig)
x_pass = I_t*carrier_cos - Q_t*carrier_sin

# ruído AWGN adicionado ao sinal X
Ex = np.mean(np.abs(symbols_tx)**2)
Eb = Ex / b
EbN0 = 10**((EbN0_dB / 10)
sigma = np.sqrt((Eb / EbN0) / 2)
noise = sigma * np.random.randn(len(x_pass))
x_noisy = x_pass + noise

#multiplicacao por cos e sen (portadora) do sinal X +
  ruído AWGN
I_rx = x_noisy * carrier_cos
Q_rx = x_noisy * (-carrier_sin)

#convolucao com filtro casado - p(T-t)
I_mf = np.convolve(I_rx, p[::-1], mode='full')
Q_mf = np.convolve(Q_rx, p[::-1], mode='full')

#downsampling e amostragem
overall_delay = delay
YI_k = I_mf[overall_delay::upsample_rate][:num_symbols]
YQ_k = Q_mf[overall_delay::upsample_rate][:num_symbols]

# sinal recebido RX - Y com componentes I e Q
received[b] = (YI_k, YQ_k)
symbols_rx = YI_k + 1j * YQ_k

rx_constellation[EbN0_dB][b] = symbols_rx.copy()

#demodula o sinal recebido
bits_rx = modem.demodulate(symbols_rx, 'hard')
#compara com bit de entrada e bits recebido para poder
  formar o BER simulado
ber_sim.append(np.mean(bits_rx != bits))

#formula do BER teorico
k = np.log2(M)
ber_th.append((4/k)*(1 - 1/np.sqrt(M))*0.5*erfc(np.sqrt
  ((3*k*EbN0)/(M-1))/np.sqrt(2)))

# grafico da BER vs Eb/N0 dB
fig = plt.figure(figsize=(8, 5))
plt.semilogy(EbN0_dB_range, ber_sim, 'o-', label='Simulado')
plt.semilogy(EbN0_dB_range, ber_th, '--', label='Teorico')
plt.xlabel('Eb/N0 (dB)')
plt.ylabel('BER')
plt.title(f'BER simulada vs teorica para {M}-QAM')

```

```

plt.grid(which='both', linestyle=':')
plt.legend()
plt.tight_layout()
fig.savefig(f'ber_{M}_QAM.png', dpi=150, bbox_inches='tight')
plt.close(fig)

# 2. Plote para cada Eb/NO uma figura com as tres modulacoes lado
a lado - CONSTELACOES
for EbNO_dB in EbNO_dB_range:
    fig, axes = plt.subplots(1, len(b_values), figsize=(15, 4))
    for ax, b in zip(axes, b_values):
        M = 2**b
        tx = tx_constellation[b]
        rx = rx_constellation[EbNO_dB][b]
        ax.scatter(tx.real, tx.imag, s=80, ec='blue', facecolors=
            'none', label='Tx', zorder=2)
        ax.scatter(rx.real, rx.imag, s=8, color='orange', label='
            Rx', zorder=1, alpha=0.7)
        ax.set_title(f'{M}-QAM - {EbNO_dB} dB')
        ax.set_xlabel('I')
        ax.set_ylabel('Q')
        ax.axis('equal')
        ax.grid(True)
        ax.legend()
    plt.suptitle(f'Constelacao Rx para Eb/NO = {EbNO_dB} dB')
    fig.savefig(f'constellation_EbNO_{EbNO_dB}dB_QAM.png', dpi
        =150, bbox_inches='tight')
    plt.close(fig)

```

M-PSK

```

import numpy as np
import matplotlib.pyplot as plt
from commpy.modulation import PSKModem
from scipy.special import erfc

# -- Parametros gerais -----
alpha = 0.15
T = 1e-3
span = 40
fc = 100e6
Fs = 4 * fc
upsample_rate = 16
num_symbols = 1000_00
EbNO_dB_range = np.arange(0, 25, 4)

# -- Gera vetor de tempo e pulso RRC
-----
# 2) Gera os coeficientes do filtro RRC (p) e do matched filter (
    q = p invertido)
def design_rrc(alpha, span, sps):

```

```

N = span * sps + 1                                # Numero de taps: suporte
total x amostras + 1
t = np.linspace(-span/2, span/2, N)               # Eixo do tempo de -span
/2 a +span/2
h = np.zeros_like(t)
for i, ti in enumerate(t):
    if np.isclose(ti, 0):
        # formula do RRC no tempo zero
        h[i] = 1 + alpha*(4/np.pi - 1)
    elif np.isclose(abs(ti), 1/(4*alpha)):
        # formula em ti = +-1/(4alpha)
        h[i] = (alpha/np.sqrt(2))*(
            (1 + 2/np.pi)*np.sin(np.pi/(4*alpha)) +
            (1 - 2/np.pi)*np.cos(np.pi/(4*alpha))
        )
    else:
        # expressao geral do pulso RRC
        num = np.sin(np.pi*ti*(1-alpha)) + 4*alpha*ti*np.cos(
            np.pi*ti*(1+alpha))
        den = np.pi*ti*(1 - (4*alpha*ti)**2)
        h[i] = num/den
h /= np.linalg.norm(h)                            # Normaliza a energia do
filtro para 1
return h, h[::-1]                                # Retorna p e q (espelhado
)

p, q = design_rrc(alpha, span, upsample_rate)
delay = len(p) - 1                               # Atraso total do par de
filtros
N = len(p)
t = np.linspace(-span/2, span/2, N)

# -- Plota o pulso RRC -----
plt.figure(figsize=(8,3))
plt.plot(t, p, linewidth=1.5)
plt.title(f'Pulso RRC (alpha={alpha}, T={T*1e3:.1f} ms, span={
span})')
plt.xlabel('Tempo (s)'); plt.ylabel('Amplitude')
plt.grid(True); plt.tight_layout()
plt.show()

# -- Funcoes de up-sampling -----
def upsample(x, L):
    y = np.zeros(len(x) * L, dtype=x.dtype)
    y[::L] = x
    return y

# -- Simulacao para cada b = 1,2,3,4
-----
b_values = [1, 2, 3, 4]
received = {}

```

```

tx_constellation = {}
rx_constellation = {EbN0_dB: {} for EbN0_dB in EbN0_dB_range}

for b in b_values:
    M = 2**b

    #Modulacao M-PSK
    modem = PSKModem(M)

    ber_sim = []
    ber_th = []
    # guarda constelacao pura
    tx_constellation[b] = modem.constellation.copy()

    for EbN0_dB in EbN0_dB_range:
        #geracao da entrada com bits aleatorios
        bits = np.random.randint(0, 2, b * num_symbols)

        #modula essa entrada com M-PSK
        symbols_tx = modem.modulate(bits)
        I_seq, Q_seq = symbols_tx.real, symbols_tx.imag

        #upsampling
        I_up = upsample(I_seq, upsample_rate)
        Q_up = upsample(Q_seq, upsample_rate)

        #convolucao com p(t)
        I_t = np.convolve(I_up, p, mode='full')
        Q_t = np.convolve(Q_up, p, mode='full')

        #multiplicacao por cos e sen (portadora)
        t_sig = np.arange(len(I_t)) / Fs
        carrier_cos = np.sqrt(2)*np.cos(2*np.pi*fc*t_sig)
        carrier_sin = np.sqrt(2)*np.sin(2*np.pi*fc*t_sig)
        x_pass = I_t*carrier_cos - Q_t*carrier_sin

        # ruído AWGN adicionado ao sinal X
        Ex = np.mean(np.abs(symbols_tx)**2)
        Eb = Ex / b
        EbN0 = 10**((EbN0_dB / 10))
        sigma = np.sqrt((Eb / EbN0) / 2)
        noise = sigma * np.random.randn(len(x_pass))
        x_noisy = x_pass + noise

        #multiplicacao por cos e sen (portadora) do sinal X + ruído AWGN
        I_rx = x_noisy * carrier_cos
        Q_rx = x_noisy * (-carrier_sin)

        #convolucao com filtro casado - p(T-t)
        I_mf = np.convolve(I_rx, p[::-1], mode='full')

```

```

Q_mf = np.convolve(Q_rx, p[::-1], mode='full')

#downsampling e amostragem
overall_delay = delay
YI_k = I_mf[overall_delay::upsample_rate][:num_symbols]
YQ_k = Q_mf[overall_delay::upsample_rate][:num_symbols]

# sinal recebido RX - Y com componentes I e Q
received[b] = (YI_k, YQ_k)
symbols_rx = YI_k + 1j * YQ_k

rx_constellation[EbNO_dB][b] = symbols_rx.copy()

#demodula o sinal recebido
bits_rx = modem.demodulate(symbols_rx, 'hard')
#compara com bit de entrada e bits recebido para poder
    formar o BER simulado
ber_sim.append(np.mean(bits_rx != bits))

#formula do BER teorico
EbNO = 10**(EbNO_dB/10)
# argumento da Q-function aproximada para simbolo
arg = np.sqrt(2 * np.pi**2 * EbNO * np.log2(M) / M**2)
#  $P_s \sim 2Q(arg) = \text{erfc}(arg/\sqrt{2})$ 
Ps = erfc(arg/np.sqrt(2))
# BER de bit aproximado (Gray coding)
Pb = Ps / np.log2(M)
ber_th.append(Pb)

# grafico da BER vs Eb/NO dB
fig = plt.figure(figsize=(8, 5))
plt.semilogy(EbNO_dB_range, ber_sim, 'o-', label='Simulado')
plt.semilogy(EbNO_dB_range, ber_th, '--', label='Teorico')
plt.xlabel('Eb/NO (dB)')
plt.ylabel('BER')
plt.title(f'BER simulada vs teorica para {M}-PSK')
plt.grid(which='both', linestyle=':')
plt.legend()
plt.tight_layout()
fig.savefig(f'ber_{M}_PSK.png', dpi=150, bbox_inches='tight')
plt.close(fig)

# 2. Plote para cada Eb/NO uma figura com as tres modulacoes lado
a lado - CONSTELACOES
for EbNO_dB in EbNO_dB_range:
    fig, axes = plt.subplots(1, len(b_values), figsize=(15, 4))
    for ax, b in zip(axes, b_values):
        M = 2**b
        tx = tx_constellation[b]
        rx = rx_constellation[EbNO_dB][b]

```

```

ax.scatter(tx.real, tx.imag, s=80, ec='blue', facecolors=
    'none', label='Tx', zorder=2)
ax.scatter(rx.real, rx.imag, s=8, color='orange', label='
    Rx', zorder=1, alpha=0.7)
ax.set_title(f'{M}-PSK - {EbNO_dB} dB')
ax.set_xlabel('I')
ax.set_ylabel('Q')
ax.axis('equal')
ax.grid(True)
ax.legend()
plt.suptitle(f'Constelacao Rx para Eb/NO = {EbNO_dB} dB')
plt.tight_layout(rect=[0, 0, 1, 0.96])
fig.savefig(f'constellation_EbNO_{EbNO_dB}dB_PSK.png', dpi
    =150, bbox_inches='tight')
plt.close(fig)

```